

早稲田大学理工学部 学生会員 菅原雄一郎
 ○早稲田大学理工学部 学生会員 笹原壯雄
 早稲田大学理工学部 学生会員 萩木誠
 早稲田大学理工学部 正会員 赤木寛一

1.はじめに

軟弱で高含水比の建設汚泥や浚渫土を有効利用または処分するにあたっては、含水比低下および減量化を目的として凝集・脱水処理を施す必要がある。これらの汚泥の脱水には、通常、フィルタープレスやベルトプレスなどの加圧脱水機が使用されており、実験室での凝集処理汚泥の脱水性評価に対しては圧密試験が行われている。汚泥の脱水性的定量的な評価としては、圧密試験結果から得られる圧縮指数により評価したもの⁽¹⁾、圧密係数により評価したもの⁽²⁾、脱水量の経時変化により評価したもの⁽³⁾がある。

本研究では、フロック粒径の異なる3種類のペントナイトフロックに対して定ひずみ速度圧密試験を行った。本論文では汚泥の微視的な構造状態に関係する脱水性を定ひずみ速度圧密試験時の間隙水圧応答を表す応力比-間隙比チャートにより評価している。また、同チャートと e-log_p 曲線による汚泥性状評価の関係について検討し、チャートの実用上の意義について考察している。

2. 使用した試料、凝集剤および供試体

本研究では、市販のペントナイト(穂高産)に蒸留水を加え、家庭用ハンドミキサーで十分攪拌した後 24 時間以上静置し、試験前に再度攪拌したものを試料泥水とした。表1に使用したペントナイトの各物性値を示す。凝集剤には、LAC(無機系凝集剤)およびポリアクリルアミド(有機系高分子凝集剤)を使用した。ポリアクリルアミドは 0.1 質量パーセントに調整したものをハンドミキサーにより1時間攪拌したものを使用した。本研究では、凝集剤添加量を調整することにより、粒径の異なる3種類の凝集フロックを作成した。表2に凝集剤添加量および作成されたフロック粒径を示す。

3. 定ひずみ速度圧密試験

3種類のペントナイトフロックの圧密特性を調査するために、定ひずみ速度圧密試験(JSF T 412-1993)を行つた。試験条件を表3に示す。

3.1 試験結果および考察

定ひずみ速度圧密試験による応力比の応答を比較したもののが図1～図3に示す。ここで応力比 $\alpha = u/\sigma$ であり、 σ は供試体上面での全応力、 u は供試体下面での間隙水圧、 e は間隙比である。なお、図中の間隙比は試験終了後の供試体高さ、含水比および圧密変位量から算出した。

図1～図3から、フロック粒径によって $\alpha-e$ チャートの形状が大きく異なることが分かる。図1のフロック小の供試体では圧縮性・透水性が高いため α は $e=20$ 付近まで 0.1 前後であり、その後、圧密の進行に伴い 0.5 付近まで上昇する。その後、 α は過剰間隙水圧の消散に伴い減少する。図2より、フロック中供試体についても同様の

表1. 使用したペントナイトの物性値

物性項目	ペントナイト
Water content w (%)	35.78
Density ρ_s (Mg/m ³)	2.58
Liquid limit w_L (%)	406.7
Plastic limit w_p (%)	28.3
Plasticity index I _p	378.4
pH	10.1
Sand (2mm-75μm)	0
Silt (75μm-5μm)	12
Clay (5μm-)	88

表2 凝集剤添加量および凝集フロックの粒径

供試体	LAC	Polyacrylamide	粒径
フロック大	0.09%	65ppm	φ 10mm-
フロック中	0.19%	65ppm	φ 3-7mm
フロック小	0.28%	65ppm	φ 1-2mm

表3 定ひずみ速度圧密試験条件

供試体	フロック大	フロック中	フロック小
ひずみ速度 ϵ (%/min)	0.50	0.57	0.50
初期高さ H_0 (cm)	1.99	1.75	1.96
試験終了時の高さ H_n (cm)	0.25	0.29	0.17
試験終了時の含水比 w_p (%)	105.2	80.0	36.7

Key words : 廃棄物、圧密、ペントナイト、土の構造、間隙水圧

〒169-8555 新宿区大久保 3-4-1 早稲田大学理工学部

Tel 03-5286-3405 Fax 03-5272-0695

傾向が見られるが、フロック中では $e=30$ 付近から α が上昇し、 $e=10$ 付近において α はピークを示すことが分かる。これらの応力比応答の違いは、フロック供試体の構造の違いによるものと考えられる⁽⁴⁾。フロック大供試体では、構造の違いによる応答が顕著に現れる。図3から、フロック大供試体では $e=30$ 付近で α が急激に上昇し、その後 α が 0.9 前後の値をとりながら圧密が進行し、 $e=12$ 付近から α が大きな変動を示しながら減少して行くのが分かる。図3の初期に見られる急激な α の増加は、フロック大供試体中の比較的自由に移動できる部分の間隙水が移動することによってフロック大の再配列が起り、供試体を急激に閉塞することによって生じたものと考えられる。なお、フロック大供試体で観察された試験後半の α の乱れは、圧密に伴うフロック集合体の破壊によるものと考えられる。

定ひずみ速度圧密試験による圧縮曲線を比較したものを図4に示す。図4からフロック粒径の減少に伴い供試体の圧縮性が増加することが分かる。これは $\alpha-e$ チャートから読み取った結果と一致している。また、フロック大では供試体中の自由水は圧密初期において排出され、ペントナイト粒子近傍の吸着水は圧密後半に排出したため、圧密過程全体としては圧縮性に大きな変化が見られなかつたと考えられる。

以上のことから、 $\alpha-e$ チャートと $e-\log p$ 曲線には相関性があることが定性的に確認された。

4. $\alpha-e$ チャートの利用法

汚泥をセメント固化処理して盛土などや植栽基盤等で再利用する場合、凝集剤添加量を適切に管理する必要がある。本研究から、凝集剤添加量によってフロック粒径が変化し、それに応じて $\alpha-e$ チャートの形状が大きく変化することが明らかになった。したがって、ある汚泥のある有効利用形態に対して最適な $\alpha-e$ チャート形状を調査することによって、例えば凝集剤添加量の決定に対して $\alpha-e$ チャートを判断材料として利用することができると思われる。また、 $\alpha-e$ チャートを使用するのは実測データのみであるため特別な解析は不要であり、そのためひずみ速度の影響を受けないため短時間で結果を得ることが可能である。

謝辞 本研究の実施にあたり、(株)東興開発のご援助を得たことを記し、謝意を表する。

参考文献

- (1) 例えば 菅原、笠原、茨木、赤木：建設汚泥の低応力レベルにおける脱水特性の定量的評価について、第34回地盤工学研究発表会（投稿中）
- (2) 例えば 喜田、辻、炭田：土工事における濁水処理に関する研究（第14報）—泥水の加圧脱水性に及ぼす無機系凝集剤の影響—、pp107-108、大林組技術研究所報、No.23, 1981
- (3) 例えば 川口、浅田、荻野、堀内：薬剤処理した建設汚泥の加圧脱水特性、pp81-82、第32回地盤工学研究発表会（2分冊の1）
- (4) 山内：第1章 土の物理化学的性質、pp24 土質力学（最上武雄編著）、技法堂出版

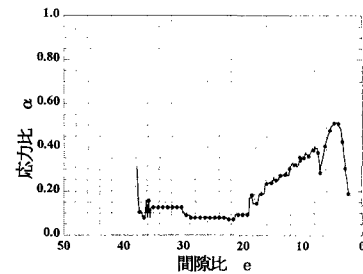


図1 応力比応答(フロック小)

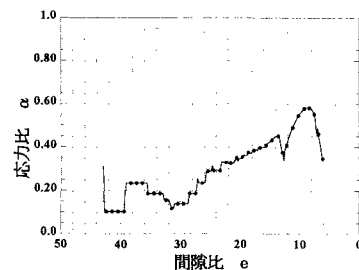


図2 応力比応答(フロック中)

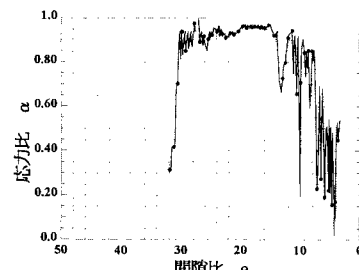
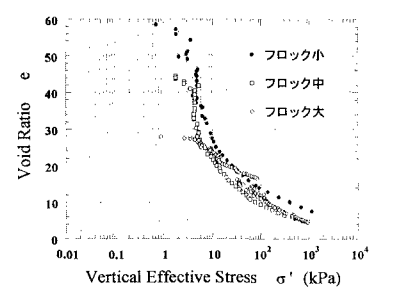


図3 応力比応答(フロック大)

図4 定ひずみ速度圧密試験結果 ($\dot{\epsilon} = 0.5\%/\text{min}$)